

Li-F

H₃, H₄, di F + I (nonisoc. molecul.) 1968

Karples M., 11 10 X 5046

Proc. Int. Sch. Phys. "Enrico Fermi,"
1968 (Pub. 1970), № 44, 320-48 (cont.)

Potential-energy surfaces.

10 V



CA, 1970, 23, N16, 805789

X
5046
Karples M.
11 10

LiF·HF

1970

LiF·Li₂

LiF·H₂

kb.-med.

pacret.

Kollman P. A., et al.

J. Amer. Chem. Soc.,

1970, 92, n^o 5, 1142

[Cu(LiF)₂]^{III}

O_2 , ZrO_2 (VI) ^{10}Be 1971
Andrews D., Raymond J. T.,
J. Chem. Phys., 1971, 55, N^o 3078-86
(cont.)

matrix infrared spectrum of O_2
and detection of ZrO_2 .

10 f \odot

CA, 1971, 75, N^o 20, 124692v

Li₂, LiF, Li₂F (D₀) X7836 1973

Pearson P.K., Hunt W.J., Bender Ch.F.,
Schaefer H.F.

J. Chem. Phys., 1973, 58, N12, S358-S363 (au)

III. Simplest halogen atom plus alkali
dimer potential surface F + Li₂ → LiF + Li

PHYSICS, 1973

225751

O

H (p)

2^X am. u 3^X am. .nos - see X A-31041974
Li₂F u LiHF (kb. ver. pacem).

Balint-kurti G. G., Karplus M.
Orbital Theor. Mol. Solids, 1974,
250-310.

Atoms in molecules.



51203.8859
Ch, TC, MGU

40392

1975

H₂O-Li-F (кодир) 3492

Kress James W., Clementi E., Kozak John
J., Schwartz Maurice E.

Study of the structure of molecular complexes. IX. The Hartree-Fock energy surface for the H₂O-Li-F complex.

"J. Chem. Phys.", 1975, 63, N 9, 3907-3928

(англ.) 050 ₩

480 486

ВИНИТИ

LiF⁻ (Aaren) X-9805 1976
LiF (Se⁻)

Jordan K.D., Lukens W.

J. Chem. Phys., 1976, 64, N7, 2760-2766
(see)

Theoretical study of the binding
of an electron to a molecular
dipole: LiF⁻

Publ. 43, 1976, 3D159

40

(P)

LiF-H

ammick 5344

1977

*nominal,
not yet all.*

88: 158789r Potential energy surfaces for simple chemical reactions: application of valence-bond techniques to the lithium + hydrogen fluoride \rightarrow lithium fluoride + hydrogen reaction. Balint-Kurti, Gabriel G.; Yardley, Robert N. (Sch. Chem., Bristol Univ., Bristol, Engl.). *Faraday Discuss. Chem. Soc.* 1977, 62(Potential Energy Surf.), 77-91 (Eng). The potential energy surface of the reaction $\text{Li} + \text{HF} \rightarrow \text{LiF} + \text{H}$ was detd. by ab initio multi-structure valence-bond calcn. Results for both linear and nonlinear nuclear geometries are presented. The ab initio valence-bond results were improved by correcting for at. errors using the orthogonalized Moffitt method. The double-zeta orbital basis set used was augmented by extra orbitals. The 2 methods gave the endoergicity of the reaction, ignoring zero-point vibrational energies, as 5.8 and 2.5 kcal/mol, resp. Potential surfaces for excited electronic states were also calcd. The relation of the ground state potential surface to the reactive cross section, and its variation with energy, is discussed. The ground and excited state potential surfaces are compared with previous models and a mechanism for the formation of alkali metal ions in hyperthermal alkali metal atom - H halide collisions is proposed.

C.A., 1978, 88, 1422

85T. 5346

6P

1

138

85T. 5346

OPM 5880 BX-1035 1977
Do, ΔH_f (Li₂, LiBeH, LiBH₂, LiCH₃, LiNH₂, LiOH,
LiF, HBeLi, HBe₂H, HBeBH₂, HBeCH₃, HBeOH₃,
HBe.NH₂, HBeOH, HBeF, Be₂, Be.BH, Be.CH₂,
Be.NH, BeO)
newer comp. (Li₂H₂, LiHBeH, LiOH₂, BeH₂LiH,
Be₂H₃, BeH·BH₂, LiNH₃, HBeHFH₃, HBeOH₂,
HBeOH₂, HLeFH, HReHFH)
Pill J.D., Schlegel P.V.R., Binkley J.S.,
Popple J.P., J. Amer. Chem. Soc., 1977,
99, 719,
O 6159-6173 (ann.)
TO, up

LiHF_2 Osmuck 5634 1974

Ludman et al.

cheap
dilP

J. Chem. Soc. Faraday
Trans. II, 1974, 73,
1003 - 1014

Li H.FH

Connell 5880

1944

алкоголь
структура и
изучение физич.
свойств

Dill Janes D. et al
J. Amer. Chem. Soc.,
1944, 66, N19, 6159-6173
(авт.)

алк. Li H. - 14

Lix H_n

commack 5842

1977

Ruff Martin et al

Theor. Chim Acta 1977,
46(2), 117-27 (Eng)

to Mr.
pacet
new
clear.



att. Lix H_n - IV

OH^- , BH_3^- , BO_3^- , CN^- , HF^- , LiC_2^- ,
 LiH^- , NaH^- , BCO_3^- , MgH_3^- , SH_3^- ,
 NH_2^- , NO_2^- , HCN^- , HCNC^- , HgO_3^- } (pacem
 LiH_3^- , LiCH_3^- , LiOH^- , LiH^- . } (ceo. n.)

Simons J.

BX-1438.

Ann. Rev. Phys. Chem. Vol. 28." Palo Alto,
Calif., 1974, 45 - 45 (pacem.)

Theoretical structures of negative
molecular ions.

Proc Roy, 1978, 9, 942. 10

(P)

(LiF)_n

1978

88: 129766a A mass spectrometric study of the fragmentation of the lithium fluoride vapor system. Grimley, R. T.; Forsman, J. A.; Grindstaff, Q. G. (Dep. Chem., Purdue Univ., West Lafayette, Indiana). *J. Phys. Chem.* 1978, 82(6), 632-9

MacCormick

(Eng). The angular no. distributions of species effusing through a cylindrical orifice were used to investigate the fragmentation processes which occur in the ion source of a mass spectrometer. The LiF vapor system has been studied in the temp. range 785-825 °C. The monomer, dimer, and trimer were identified as the neutral vapor species, and the fragmentation processes assocd. with the electron bombardment of each of these species were identified. The approx. contribution of each of the neutral species to the fragment ions was detd.

C.A. 1978, 88, N18

LiF , NaF , BeO , MgO 1978
 LiF^- , NaF^- , BeO^- , MgO^- (paracorr corr.)
Jordan K.D., Seeger R.

Chem. Phys. lett., 1978, 54, no,
320 - 326 (correc.)

An *ab initio* study of the ground
state anions of LiF , NaF , BeO and
 MgO .

BX-1335

1 PREPRINT, 1978, 15.5.22. 10. (cp)



структ.

(+2)



21949 N8

8 Б182. Структура и частоты колебаний ионных кластеров. Martin T. P. The structure and vibrational frequencies of ionic clusters. «J. Chem. Phys.», 1978, 69, № 5, 2036—2042 (англ.)

Проведена теор. оценка структуры стабильных малых ионных кластеров состава $(MX)_n$ и $(MX_2)_n$ (M — металл, X — галоген). Расчет основан на минимизации полной энергии кластера, включающей пять компонентов (кулоновское взаимодействие между ионами, отталкивание на малых расстояниях, ион-дипольное взаимодействие, диполь-дипольное взаимодействие и собственная энергия диполей). Приведены схемы различных равновесных конфигураций кластеров $(MX)_n$ с $n = 2—12$, к-рые включают как фрагменты обычной кубич. решетки и решетки вюрцита, так и слои, содержащие циклы из 6 и 8 атомов, причем в ряде случаев наиболее стабильными являются конфигурации кластеров, отличающиеся от структуры макрокрист. решетки. Частотное распределение плотности состояний сравнительно мало зависит от размера кластера и в значит. степени определяется его конфигурацией — для нестабильных структур характерна высокая плотность колебательных состояний при низких частотах. Проведено отнесение

1648

полос в ИК-спектрах кластеров LiF в матрице Ag («Phys. Rev.», 1977, B15, 4011) к колебаниям мономера LiF, димеров с ромбич. конфигурацией, шестичленного тримера и кубич. тетрамера. Кластеры CaF_2 ($n=2-6$) имеют значительно больше стабильных конфигураций, к-рые часто характеризуются низкой симметрией, что указывает на легкость образования аморфных структур. Самые высокочастотные полосы относятся к колебаниям периферийных монодентатных ионов F, а далее следуют антифазные смещения ионов Ca^{2+} и F⁻ в циклич. структурах. Экспериментально измерен ИК-спектр кластеров PdCl_2 в матрице Ag. Малое число колебательных полос свидетельствует о высокой симметрии кластера [преимущественно состава $(\text{PdCl}_2)_6$]. Сопоставление с расчетными данными показывает, что большая часть кластеров имеет форму сферич. оболочки с симметрией O_h . Для этой структуры характерны полосы поглощения ~ 330 , 200 и 130 см^{-1} . Присутствующие в эксперим. спектре полосы в области $470-480 \text{ см}^{-1}$, по-видимому, относятся к колебаниям другого кластера, содержащего 4 периферийных атома Cl.

Е. И. Визен

Li + FH

ommited 6458

1978

Zeiri Y; Shapiro L.

ICB. MCT.

paclit

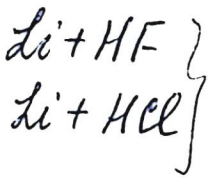
noresus-sigz.

nob-cm

Chem. Phys. 1978

31, 217 - 237

Semi-empirical potential
surfaces for ...



*расчет
нов. метода
энергии
в сферас.
пучках*

X. 1981 n 9

19 Б795. Исследование динамики реакции $Li+HF$, HCl методом скрещенных молекулярных пучков. Becker Christopher H., Casavecchia Piergiorgio, Tiedemann Peter W., Valentini James J., Lee Yuan T. Study of the reaction dynamics of $Li+HF$, HCl by the crossed molecular beams method. «J. Chem. Phys.», 1980, 73, № 6, 2833—2850 (англ.)

1980

В целях установления корреляции между неэмпирическими расчетами поверхностей потенциальной энергии (ППЭ) и реальными свойствами реагирующей системы предпринято исследование в скрещенных молек. пучках реакций $Li+HX \rightarrow LiX+H$ ($X=Cl, F$) в области энергий взаимодействия от 2 до 9 ккал/моль. Сверхзвуковой пучок атомов Li образовывался примесью Li к благородному газу с парциальными давл. 27 и 1200 мм соотв. при т-ре сопла 1150°. Сопло диам. 0,08 мм обеспечивало расходимость пучка 2,3°, что давало в зоне рассеяния пучок шириной 3 мм. Источником сверхзвукового пучка HX служила никелевая печь с соплом при т-ре 380°. Кол-во димеров в пучке не превышало 1%. Сопло диам. 0,08 мм давало пучок с угловой расходимостью ~3,5° и в зоне взаимодействия ширина пучка составляла 3 мм. Давл. торможения составляло 740 и 800 мм для

HF и HCl соотв. Детектирование угловых распределений упруго рассеянных атомов Li и продуктов взаимодействия осуществлялось масс-спектрометром, размещенными в сверхвакуумной камере с периодич. проверкой долговременного дрейфа интенсивностей пучков. Для времена-пролетных измерений использованы две методики — по времени пролета и кросс-корреляц. метод — в зависимости от достигаемого отношения сигнал/шум. Получены карты распределения скоростей и продуктов рассеяния. Сечение образования LiF составляло 0,8 и 0,94 Å при $E=3,0$ и 8,7 ккал/моль соотв. Угловые распределения LiF не полностью симметричны и преобладает рассеяние вперед, к-рое становится еще более преобладающим при повышении энергии взаимодействия. Поступательная энергия продуктов составляет $\sim 55\%$ полной энергии системы. Сечение р-ции $\text{Li} + \text{HCl}$ составляет 27 и 42 Å² для энергий взаимодействия 2,9 и 9,2 ккал/моль. Анализ угловых и энергетич. распределений показал, что в системе центра масс продукты рассеиваются в переднюю полусферу. Поступательная энергия продуктов составляет 70% от полной энергии системы. Из анализа упругого рассеяния получена аналитич. форма эффективного потенциала (функция Морзе, сшитая с потенциалом Ван-дер-Ваальса).

Определены параметры потенциалов для рассеяния на HF(HCl), к-рые предсказывают потенциальную яму глубиной 0,46 (0,32) ккал/моль при $R_m = 4,34(4,7)$ Å соотв. Р-ция Li с HF протекает через долгоживущий промежут. комплекс, причем этой р-ции отвечает ППЭ с энергетич. барьером в долине продуктов Л. Ю. Русин.

Ottawa 11238 1980

LiFH

H₂F

nomed.

no exp.

K.C. deex. faster

- (H) \otimes



C.A. 1981, 94 N 16.

V 94: 127691x Analytical potentials for triatomic molecules. VII. Application to repulsive surfaces. Carter, S.; Murrell, J. N. (Sch. Mol. Sci., Univ. Sussex, Brighton, Engl. BN1 9QJ). *Mol. Phys.* 1980, 41(3), 567-81 (Eng). Potential energy functions were calcd. for the ground-state surfaces of LiFH and H₂F by fitting ab initio data for the diat. fragments. Std. deviations of ~7 kJ/mol were obtained for both surfaces. A stable linear H bonded LiFH complex is predicted with an energy 11.5 kJ/mol below the Li + HF dissoci. limit. For H₂F, the surface is 2-valued with a line of intersections in the space of C_{2v} structures. The correct saddle point behavior for both the sym. and asym. exchange reactions were reproduced.

LcFH

отмечено 11238

1980

H₂F

8 Д71. Аналитические потенциалы для трехатомных молекул. VII. Приложение к поверхностям отталкивания. Analytical potentials for triatomic molecules. VII. Application to repulsive surfaces. Carter S., Murgell J. N. «Mol. Phys.», 1980, 41, № 3, 567—581 (англ.)

Метод аналитич. представления поверхностей потенц. энергии, развитый в предыдущих работах авторов (ч. VI Carter S., Murgell J. N. «Mol. Phys.», 1979, 37, 1885), применен к описанию отталкивательных поверхностей для основных электронных состояний L; H и H₂F. В качестве исходных данных использованы результаты неэмпирич. расчетов для отдельных точек поверхности, аппроксимация которых проведена с помощью метода наименьших квадратов. Стандартное отклонение для обеих молекул составило ~7 кДж/моль. Показано, что для LiF_H существует стабильный линейный комплекс с водородной связью, имеющий энергию на 11,5 кДж/моль ниже диссоционного предела Li⁺ + HF. Найдено, что поверхность основного состояния для H₂F является двулистной, причем линия пересе-

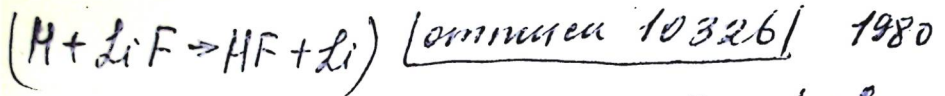
исследований
поверхностей
осн. состоян.

(4)

φ. 1981 N 18

чения отвечает структурам симметрии C_{2v} . Детально обсуждено поведение поверхностей потенц. энергии вблизи седловой точки. Е. А. Ж.

оз
на



Drexler et al.

homogeneous

heterogeneous

nonadiabatic

reaction

J. Chem. Phys., 1980, 73,
241-246,

Classical model for laser-induced
nonadiabatic collision processes.

$\text{Li}^+(\text{HF})_n$

1981

$n = 1, 2.$

Friedemann R.,
et al.

Zh. Strukt. Khim.

neop.
paeriu.

1981, 22 (2), 52-56.

(see. $\text{Li}^+(\text{NH}_3)_n$; III)

LiF^-

Oppen 13070

1981

195: 194557s $^2\Sigma^+$ and $^2\Pi$ states of lithium fluoride(-). Hazi, A. U. (Lawrence Livermore Natl. Lab., Univ. California, Livermore, CA 94550 USA). *J. Chem. Phys.* 1981, 75(9), 4586-91 (Eng). Large and diffuse mol. orbital basis sets were used to study the electronic states of LiF^- arising from the $\text{Li} + \text{F}^-$ asymptotes. The $^2\Sigma^+$ ground state is bound relative to $\text{LiF}(X^1\Sigma^+)$ by 0.33 eV, in agreement with previous calcns. The excited $^2\Sigma^+$ and $^2\Pi$ states, which arise from the $\text{Li}(^2P) + \text{F}(^1S)$ asymptote, also remain bound relative to the ground state of LiF as the internuclear distance decreases from 20 to $5a_0$; however, the corresponding 6σ and 2π orbitals change drastically from a $2p$ orbital localized on the Li atom to very diffuse "dipole" states. At $R = 2.988a_0$, the $2^2\Sigma^+$ state of LiF^- has a binding energy of at least 4.2 meV relative to the neutral mol. No evidence is found of shape resonances in the electron-scattering continuum of $\text{LiF}(X^1\Sigma^+)$, in contrast to previous results obtained with limited basis sets.

meop. pacem

C.A. 1981, 95, 122.

LiFIL

[Om. 24730]

??

Murrell J.N., Carter S.,
et al.,

School of Chemistry
and Molecular Sciences
The University of Sussex.

Molecular note ntial energy
functions:

физикаль
номерел.
Хемии

$(LiF)_n$ Lommel 12731 | 1981.

Krausz et al. Morell J.N.; et al.
~~(1981)~~.

Ref. in
J. Phys. Chem. Solids
Suppl. (4), 747 - 755.

Many-body contributions to the
intermolecular potential in
alkali halide crystals and clusters.

$XFHFX' +$ DM. 12934 1981

'95: 210023x Effect of substituents on the structure of reaction complexes. Pross, Addy; Radom, Leo (Res. Sch. Chem., Australian Natl. Univ., Canberra, 2600 Australia). *J. Am. Chem. Soc.* 1981, 103(20), 6049-53 (Eng). Ab initio MO calcns. with the 4-31G basis set were used to examine the structures and stabilities of a set of model H-bonded complexes, $XFHFX'$, with $X, X' = H, Li, Me, \text{ and } F$. The results indicate that in all cases the structure of the complex resembles the structure of the more stable of the two possible ion-mol. pairs ($XF + HFX'$ and $XFH^+ + FX'$) from which the complex may be formed. However, the results do not support a differential analog of this principle, i.e. stabilization of one set of reactants, e.g., $XF + HFX'$, does not necessarily result in increasing resemblance of the complex structure to these reactants. Extension of these conclusions to the question of transition-state structure suggests that while the Hammond postulate is likely to be of wide applicability, its differential analog may not necessarily be valid in all cases. These results are interpreted in terms of both valence bond and potential-energy surface models.

$X, X' = H,$
di, $CH_3 F$

meopen.
pacem

C.A. 1981, 95, n24

1981

$\text{HF} \dots \text{LiH}$?
 $\text{LiF} \dots \text{LiH}$)

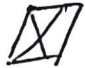
$\text{H}_2\text{N} \dots \text{LiF}$

$\text{C}_2\text{H}_4 \dots \text{LiF}$

Kb, accx,
factored,
H. C. B. 24.

SA 197948k Study of chemical bonding. (i). Lithium bonding. Peng, Zhou-Ren; Han, Ying-Jian (Lanchow Univ., Lanchow, Peop. Rep. China). *Lan-chou Ta Hsueh Pao, Tsu Jan K'o Hsueh Pan* 1981, (1), 95-102 (Ch). Quantum-mech. calculs. (mainly by the CNDO/2 method) were done on Li bonds (analogous to H-bonds) in mol. complexes such as $\text{HF} \dots \text{LiH}$, $\text{LiF} \dots \text{LiF}$, $\text{H}_2\text{N} \dots \text{LiF}$, and $\text{C}_2\text{H}_4 \dots \text{LiF}$. Ests. were made of the -Li...A- bond energies. Comparisons are made with corresponding H-bonded systems.

(42)



C.A. 1981, 94, N24

LiFH

оттиск 11789 1981

расчет
распред.
дисперс.

2 Д323. Изучение системы LiFH в рамках классической механики. A classical mechanical study of the LiFH system. Zeig i Y., Shapiro M., Pollak E. «Chem. Phys.», 1981, 60, № 2, 239—247 (англ.)

На основе полуэмпирич. поверхности потенц. энергии системы LiFH в классич. приближении проведен расчет распределения энергии для реакции $\text{Li} + \text{HF} \rightarrow \text{LiF} + \text{H}$. В согласии с эксперим. данными найдено, что ~43% энергии переходит во вращательные и колебательные моды продукта (LiF). При этом 33% приходится на вращение и 10% — на колебания. Прослежена зависимость вероятности реакции от прицельного параметра, а также рассчитано полное сечение реакции ($2,46 \text{ \AA}^2$) при трансляционной энергии 0,65 эВ, которое согласуется с эксперим. сечениями 0,8 и $0,94 \text{ \AA}^2$, найденными при трансляционных энергиях 0,13 и 0,38 эВ соответственно. Сравнение результатов, полученных для системы LiFH в квазиклассич. приближении, с результатами квантовых расчетов коллинеарной реакции указывает на применимость классич. подхода к данной задаче.

А. И. Дементьев

оф. 1982, 18, 12.

Omnuck 15940

1982

Li + HF

nolescu.
romelic.
freeruu

Alvarino J.M., Casa-
Vecchia P., et al.,

J. Chem. Phys., 1982,
77, N 12, 6341-6342.

(LiF)_n

$n=2, 3, 4, 8$

геометрия,
структура,
 D_0

(+3) LiF_3

X.1982, 19, N 16.

Отмск 13798] 1982

1) 16 Б25. Кластеры LiF в поляризационной модели.
David Cargi W. LiF clusters in the polarization model. «J. Mol. Struct.», 1982, 87, № 2, Suppl.: «Theo-chem», 4, № 2, 219—220. (англ.)

В рамках поляризац. модели рассчитаны относит. стабильность и геометрич. параметры кластеров (LiF)_n, где $n=2, 3, 4$ и 8 . Данные расчетов в поляризац. модели во многих отношениях имитируют результаты аналогичных неэмпирич. расчетов. Длина связи Li—F в циклич. тримере составила 1,58 (неэмпирич. значение 1,687) Å. Энергия димеризации LiF по отношению к 2 изолированным молекулам —41,5 ккал/моль, отличается от неэмпирич. значения —76,1 ккал/моль. Расстояние Li—F в димере 1,58 (1,71) Å. Циклич. тетраметр (LiF)₄ релаксирует из начальной структуры типа NaCl в плоскую циклич. структуру с нулевым дипольным моментом. Длина связи Li—F в тетрамере и октамере одинакова и составляет 1,68 Å. Все исследованные структуры (LiF)_n найдены существенно неполярными.

И. А. Тополь

(LiF)₄, (LiF)₈

$(\text{LiF})_n$ $(\text{LiF})_2$ (Immink 13708/982)

$n = 2, 3, 4, 8$

96: 205742x Lithium fluoride clusters in the polarization model. David, Carl W. (Dep. Chem., Univ. Connecticut, Storrs, CT 06268 USA). *THEOCHEM* 1982, 4(2), 219-20 (Eng). The polarization model (F. H. Stillinger and C. W. David, 1978) is applied to study the min. energy structures of $(\text{LiF})_n$ clusters with $n = 2, 3, 4$, and 8. In these calcs., there is no $K(r)$ or $L(r)$ function for Li^+ and the polarization energy of LiF (-185

meopen
pacrem

(+3)

C. A. 1982, 96, N24.

$(\text{LiF})_3, (\text{LiF})_4,$
 $(\text{LiF})_8$

$(\text{LiF})_n$ Jordan Kenneth D.,
Kurtz Henry A.

1982

Metal Bond. and Interac-
tions I, High Temp. Syst. Emp-
lowing basis Alkali Metals.
inv. Symp. 181st Meet. Amer.

Chem. Soc., Atlanta, Ga,

March 31—● Apr. 3, 1981. Washing-
ton, D. C., 1982, 377-393. (cu. Li...OH₂; III)

1982

 $(LiF_k)_2$

23 Б30. Энергии газофазного комплексообразования анионов MF_{k+1}^- , катионов MLi_{k+1}^+ и их солей $MLi_{k+1}^+ \cdot MF_{k+1}^-$ по данным квантовохимических расчетов. Клименко Н. М., Закжевский В. Г., Чаркин О. П. «Координац. химия», 1982, 8, № 7, 903—912

Выполнены хартри-фоковские расчеты равновесной геометрии и энергий комплексообразования ряда «сверхгалоидных» анионов MF_{k+1}^- , обладающих большим сродством к электрону, димеров $(MF_k)_2$, солей $LiMF_{k+1}$ и $NaMF_{k+1}$ ($M = Li, Na, Be, Mg, B$ и Al), а также «сверхщел.» катионов ML_{k+1}^+ и MNa_{k+1}^+ ($M = F, O$ и N), обладающих низкими потенциалами ионизации. Результаты расчетов удовлетворительно соответствуют эксперим. данным. В приближении МПДП выполнены расчеты структурных и энергетич.

расчет ионной структ., Е

☒

(f20)

Х. 1982, 19, N 23

характеристик ряда гипотетич. комплексных молекул типа $ML_{k+1}^+ \cdot MF_{k+1}^-$, $ML_{k+1}^+ \cdot MH_{k+1}^-$ и др., состоящих из катионов FLi_2^+ , CLi_3^+ , MLi_4^+ , BLi_4^+ , $BeLi_3^+$, Li_3^+ и анионов BeH_3^- , BeF_3^- , BH_4^- , BF_4^- , NO_3^- , LiF_2^- и др., а также «квазигипервалентных» молекул FLi_3 , OLi_4 , NLi_5 , BLi_5 и $BeLi_4$. С помощью расчетов предсказана возможность существования последних двух классов молекул.

Автореферат



MFdi

(Omnilex 15849)

1982

neopem.
pacrem
cmprykd.

Smith S., Chandrasekhar J.,
et al.,

J. Phys. Chem., 1982, 86,
N 17, 3308 - 3318.

Omnuck 15849

1982

MFli

Smith S., Chandrasekhar J.,
et al.,

measured.
pacres
copyrks.

Z. Phys. Chem., 1982, 86,
N17, 3308-3318.

$\text{Li}^+ \text{c HF}$

1983

Dei Bere Jaret E.,
Frisch Michael J., et al.

pacriū
reοeeueip,
ciūpykm.

J. Phys. Chem., 1983,
87, N1, 73-78.

| cees. $\text{Li}^+ \text{c } \text{NH}_3$; iii)

$\text{Li}^+ \dots (\text{HF})_2$

Om. 16818

1983

98: 78484d Influence of local electric fields on the properties and reactivity of hydrogen bonds. Complexes between molecular hydrogen fluoride and molecular hydrogen chloride and M (M = Li^+ , Na^+ , Mg^{2+}). Hobza, Pavel; Hofmann, Hans Joerg; Zahradnik, Rudolf (Inst. Hyg. Epidemiol., 100 42 Prague, 10 Czech.). *J. Phys. Chem.* 1983, 87(4), 573-8 (Eng). The influence of local elec. fields, created by Li^+ , Na^+ , and Mg^{2+} on H bonds in $(\text{HX})_2$ ($\text{X} = \text{F}, \text{Cl}$) was studied by means of the ab initio SCF method with the 3-21G basis set. For a selected structure of $\text{Li}^+ \dots (\text{HF})_2$ the reliability of the basis set was confirmed by calens. with the 6-31G* basis. Three geometrical models of the $(\text{HX})_2 \dots \text{M}$ complexes were investigated. The distance $\text{M} \dots (\text{HX})_2$ was kept const.; all other internal degrees of freedom were optimized. Completely optimized structures are not important for biol. purposes. The geometry and energy characteristics show that the H bond becomes weaker if cations are located perpendicularly to the X-X line and that it is unchanged or stronger if cations are located on the X-X line. Thus, it appears that the changes of the H-bond stability may be important in biol. processes.

neopm
nares

(fz)

C.A. 1983, 98, N10.

$\text{Na}^+ \dots (\text{HF})_2$

$\text{Mg}^+ \dots (\text{HF})_2$

$\text{LiF}\cdot\text{H}_2\text{O}$

[Om. 17d76]

1983

Kulkarni G.V., Rao C.N.R.,

Chmykm.
насадк.
ЭНПР2019
СВ.834

J. Mol. Struct., 1983,
100, 531-537.

LiFH

1983

7 Д56. Аппроксимация пологой поверхности потенциальной энергии реагирующих систем. A smooth potential energy fit for reactive systems. Lagan a A., Garcia E. «J. Mol. Struct.», 1984, 107, Suppl.: «Theo-chem», 16: Theor. Chem. 1983. Proc. XIY Congr. Theor. Chem. Latin Expression, Louvain-la-Neuve, 30 May → 2 June, 1983, 91—94 (англ.)

Кратко описана методика аппроксимации рассчитанных неэмпирич. методом ССП МО ЛКАО потенц. поверхнестей, заключающаяся в использовании различных полиномов для различных участков и раздельном рассмотрении двух- и трехчастичных взаимодействий. В качестве примера рассмотрена система LiFH.

Резюме

помехи.
поверхн.

ср. 1984, 18, № 7

LiF_{K+1^-} 1983

Ozerova V. M., Sotomonik V. G., et al.

Di meop. Zh. strukt. khim. 1983,
pačrēiū. 24(2), 164-6.

(see. LiAX_k^t ; III)

Li_2F_k^+

$K=1 \div 3$

1983

Ozerova V. M., Solo-
morik V. G.

ромену.
поверхн.,
металлу.
параметр.

Zh. Neorg. Khim. 1983,
28 (10), 2477-81.

(ав. LiBeF_k^+ ; III)

$\text{Li}^+ \dots \text{FH}$

$\text{Li}^+ \text{F-H}$

1983

4 Д68. Спектроскопические постоянные молекулы HF в поле ионов Li^+ , Na^+ , Be^{2+} и Mg^{2+} . Пинчук В. М. «Координац. химия», 1983, № 12, 1633—1635

На основе расчетов основных сечений потенц. поверхности комплексов $M^+ \dots \text{FH}$ ($M^+ = \text{Li}^+$, Na^+ , Be^{2+} , Mg^{2+}), проведенных в приближении ССП МО ЛКАО в базисе гауссовых ф-ций, оценены силовые постоянные и частоты колебаний связей $M^+ \dots \text{FH}$ и $M^+ \text{F-H}$. Выявлены закономерности изменения спектроскопич. постоянных координационной связи и молекулы HF в зависимости от природы иона.

Автореферат

расчет
им. ЛОСМ,
расчет основ.
сечений
потенц.
подерхн.

(73)
ф. 1984, 18, N 4

$\text{Li}^+ \dots \text{FH}$

1983

7 Б1080. Спектроскопические постоянные молекулы HF в поле ионов Li^+ , Na^+ , Be^{2+} и Mg^{2+} . Пинчук В. М. «Координац. химия», 1983, 9, № 12, 1633—1635

На основе расчетов основных сечений потенциальной поверхности комплексов $M^+ \dots FH$ ($M^+ = \text{Li}^+$, Na^+ , Be^{2+} , Mg^{2+}), проведенных методом ССП МО ЛКАО в базисе гауссовых функций, оценены силовые постоянные и частоты колебаний связей $M^+ \dots FH$ и $M^+ \text{F} - \text{H}$. Выявлены закономерности изменения спектроскопич. постоянных координац. связи и молекулы HF в зависимости от природы иона. Автореферат

Ред. ЛСМ.

(73)

X. 1984, 19, № 7



$\text{Na}^+ \dots \text{FH}$

$\text{Be}^{2+} \dots \text{FH}$

$\text{Mg}^{2+} \dots \text{FH}$

$\text{Li}^+ \dots \text{F-H}$

1983

/ 100: 58876q Spectroscopic constants of a hydrogen fluoride molecule in a field of lithium(1+), sodium(1+), beryllium(2+), and magnesium(2+) ions. Pinchuk, V. M. (Kiev. Politekh. Inst., Kiev, USSR). *Koord. Khim.* 1983, 9(12), 1633-5 (Russ). The parameters of the Morse potential, spectroscopic consts., bond energies, and the transfer of electron d. from the mol. to the ion were calcd. for $M^{n+} \dots \text{F-H}$ ($M^{n+} = \text{Li}^+, \text{Na}^+, \text{Be}^{2+}, \text{Mg}^{2+}$). With the formation of a coordination bond the frequency of the fundamental vibrations of the HF mols. is decreased; the greater the decrease the stronger the coordination bond.

μ, ν, D_0, V_{ij}

$\text{Na}^+ \dots \text{F-H}, \text{Be}^{2+} \dots \text{F-H}, \text{Mg}^{2+} \dots \text{F-H}$

(+3) ~~18~~



c.a. 1984, 100, n8

FZin

1983

Von Ragueé Schleyer
Paul.

pacrius New Horiz. Quantum
cōpoētus Chem. Proc. 4 Int. Congr.,
Uppsala, June 14-19, 1982.
Dordrecht e. a., 1983, 95-109.
(see. Czin; III)

LiHF

1984

З Д130. Аппроксимация поверхности потенциальной энергии системы LiHF. A fit of the potential energy surface of the LiHF system. Garcia E., Lagana A. «Moly. Phys.», 1984, 52, № 5, 1115—1124 (англ.)

Предложен новый способ аппроксимации ф-ций потенц. энергии трехатомных молекул, согласно которому в потенц. ф-ции выделяются двухчастичные вклады с параметрами, определяемыми на основе потенц. кривых двухатомных фрагментов, и трехчастичная ф-ция, задаваемая в виде произведения полинома от межъядерных расстояний и демпфирующих множителей. Метод использован для построения ф-ции потенц. энергии основного состояния системы LiHF по 214 точкам, рассчитанным неэмпирич. квантовомеханич. методом. Полученная потенц. ф-ция точно аппроксимирует расчетные точки и позволяет проводить разумную экстраполяцию в те области значений переменных, где отсутствуют данные расчетов. Библ. 45. А. И. Дементьев

*поверхности
потенциальной
энергии.*

cf. 1985, 18, N3

LiHF

1984

101: 137385c A fit of the potential energy surface of the lithium-hydrogen-fluorine (LiHF) system. Garcia, E.; Lagana, A. (Dip. Chim., Univ. Perugia, Perugia, Italy). *Mol. Phys.* 1984, 52(5), 1115-24 (Eng). A new method is described for fitting ab-initio values of the electronic energy of reactive systems. By using this algorithm, the potential-energy surface of the Li + HF reaction was obtained by matching the functional forms fitted to different regions of the interaction.

romers.
rofessor
neop. pacim

c.A.1984, 101, N16

Калустян
Галогениды
щелочных
металлов

1984

24 Б1144. О фрагментации кластеров галогенидов щелочных металлов. Comment on alkali halide cluster fragmentation. Haberland H. «Surface Sci.», 1985, 156, № 1: Small Part. and Inorg. Clusters. Proc. 3rd Int. Meet., Berlin (West), 9—13 July, 1984. Pt 1, 303—304 (англ.)

Указаны две причины неизбежной фрагментации при ионизации кластеров галогенидов щел. металлов электронами низких энергий: 1) стимулированная электронами низких энергий десорбция с Пв кристаллов галогенидов щел. металлов; 2) фрагментация димеров щел. металлов при ионизации их электронами низких энергий.

Д. В. Чеховской

окт. 1985, 19, № 24

$(\text{LiF})_n$ [Om. 19666]

1984

(Kuacangite)

ab initio
pacem

Kato H., Niwa Y.,
et al.,

J. Chem. Soc. Jap.,
Chem. and Ind. Chem.,
1984, No. 1055-1061.

LiFH

1984

100: 109378p A smooth potential energy fit for reactive systems.
Lagana, A.; Garcia, E. (Dip. Chim., Univ. Perugia, 06100 Perugia,
Italy). *THEOCHEM* 1984, 16, 91-4 (Eng). A method of fitting ab
initio data by matching different functional forms tailored to fit
particular regions of the potential energy surface is presented. The
aim of the method is to reproduce accurately the short range
interaction while avoiding the rising of spurious features in the long
range as it can occur when using either a spline or a globally fitting
technique. An application is made to the accurate ab initio points
available for the LiFH system.

meop.
paerim

C.A.1984, 100, n 14

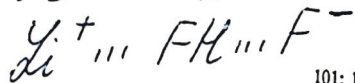
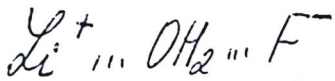
Li^+, HF 1984

Latajka Zofia,aw,
Scheiner Steve.

recompr., Chem. Phys. Lett.,
citerym. 1984, 105, N 4, 435–
–439.

($\text{Cu}(\text{H}_3\text{O})^+ \cdot \text{NH}_3$; II)

1984



101: 177765h Nonempirical calculation of spatial and electronic structure of $\text{Li}^+ \dots \text{OH}_2 \dots \text{F}^-$ and $\text{Li}^+ \dots \text{FH} \dots \text{F}^-$ ion pairs. Pinchuk, V. M.; Sulimenko, A. N. (Kiev. Politekh. Inst., Kiev, USSR). *Zh. Strukt. Khim.* 1984, 25(4), 127-9 (Russ). The bond energy, E , equil. geometry, and electron d. distribution of the title ion pairs formed during interaction of HF and H₂O with Li⁺ and F⁻ were calcd. by the SCF MO LCAO method. The E values of the individual ions in these pairs exceed appreciably the E values of the corresponding ion monosolvates. The results indicate the possible existence of ion pairs sep'd. by a solvent mol.

имя автора,

Фрунзе

Чисту

метод. расчет)

C.A. 1984, 101, N 20

$\text{Li}^+ \dots \text{FH}$

1984

1 Д116. Неэмпирический расчет пространственной и электронной структуры ионных пар $\text{Li}^+ \dots \text{OH}_2 \dots \text{F}^-$, $\text{Li}^+ \dots \text{FH} \dots \text{F}^-$. Пичук В.М., Сулименко А.Н. «Ж. структур. химии», 1984, 25, № 4, 127—129

Неэмпирическим методом ССП МО ЛКАО в базисе гауссовых ф-ций $\text{Li}(7s)0, \text{F}(9s5p)H(4s)$, сгруппированном в $4s(5s4p)3s$, исследовано электронное строение комплексов $\text{Li}^+ \dots \text{FH}$, $\text{F}^- \dots \text{HF}$, $\text{Li}^+ \dots (\text{FHF})^-$, $\text{F}^- \dots (\text{HELi})^+$, $\text{Li}^+ \dots \text{FH} \dots \text{F}^-$, $\text{Li}^+ \dots \text{OH}_2$, $\text{F}^- \dots \text{H}_2\text{O}$, $\text{Li}^+ \dots (\text{OH}_2\text{F})^-$, $\text{F}^- \dots (\text{H}_2\text{OLi})^+$ и $\text{Li}^+ \dots \text{OH}_2 \dots \text{F}^-$. Подробно проанализированы изменения электронной плотности при переходе от комплексов катион—молекула и анион—молекула к комплексам катион—молекула—анион (ионным парам). Показано, что в последних энергии связи существенно больше.

В. Л.

расчет
структур

(73)

(8)

●

~~HF HF~~

Ф. 1985, 18, N1.

Li_nF_m

Li_nF_m^+

$m \leq n \leq 4$

Окт. 1986

1984

4 Б1116. Неэмпирические расчеты ионной диссоциации кластеров $(\text{LiF})_n$. Kato Hiroshi, Niwa Jun, Nigao Kimihiko. «Нихон кагаку кайси, Nippon kagaku kaishi. J. Chem. Soc. Jap., Chem. and Ind. Chem.», 1984, № 6, 1055—1061 (яп.; рез. англ.)

С целью объяснения результатов масс-спектрометрического исследования паров LiF неэмпирическим методом ССП МО ЛКАО в базисе 3—21* ГФ проведены расчеты электронного строения кластеров Li_nF_m и Li_nF_m^+ ($m \leq n \leq 4$) с оптимизацией всех геометрических параметров. Приведены рассчитанные значения полных энергий, равновесных геометрических параметров, энергий ионизации, зарядов на атомах и спиновых плотностей. Гиперповерхность потенциальной энергии системы Li_nF_m ($m < n$) очень пологая и энергии ионизации расположены в узком интервале. В согласии с экспериментальными данными найдены

ЧЕЛНПР., СПУЖК.,
У.

Х. 1985, 19, № 4

дено, что Пт появления катионов $\text{Li}_n\text{F}_{n-1}^+$ существенно меньше, чем для нейтр. систем. Для LiF и $(\text{LiF})_2$ и их катионов также проведены расчеты методом конфигурац. взаимодействия с учетом всех одно- и двукратно возбужденных состояний. Согласие рассчитанных методом КВ энергий ионизации и Пт появления с их эксперим. оценками лучше, чем в методе ССП. Обсужден механизм диссоциации катионов LiF^+ и $(\text{LiF})_2^+$.

И. Н. Сенченя

$\text{Li}^+, (\text{FHF})^-$

1984

Гусевук В.И., Суле-
зинко А.Н.

Радиоактивные изотопы фтора в гидратах кальция и магния
серафимов. 1984, 25, № 4, 127-129.

(см. Li^+, FH ; III).

$F_{..}, (HF\text{Li})^+$

1984

Түнекік Б. ал., Сүзбеков-
жо А. А.

Район
Сарык-
мұнар

Ж. Сарықмұр. Жерлер, 1984, № 4, 127 - 129.

(Сар. Li .., FH; III)

$\text{Li}^+ \dots \text{FH} - \text{F}^-$

1984

Токтук Б. Ш., Султановко
А. А.

Порядок
смесь
типа

Ж. Сіртуқтұрп. жаралық,
1984, №5, №, 127-129.

(см. $\text{Li}^+ \dots \text{FH}$; III)

$\text{Li}^{\dots}, (\text{OH}_2\text{F})^-$

1984

Түнгік Б.дт., Сысекеевко
А.Н.

Раेем Н. Смұкумұржанов,
Смұку-
мұрғай 1984, 25, N 4, 127 - 129.

(c.e. Li^{\dots} , FH; III)

$F_{111}^-(H_2O\text{Li})^+$

1984

Тицерук В.Л., Суленко
А.Н.

Паччин
Симиркевич, 2000,
Симирк-
евич, 1984, 25, N 4, 127-129.
мичев

(See. Lit. ... FH; III)

$\text{Li}^+ \dots \text{OH}_2 \dots \text{F}^-$

1984

Тикурук В.И., Сулименко
А.Н.

Расширение
струйки при
излучении

Ил. Струйки при излучении,
1984, № 5, № 4, 127-129.

(см. $\text{Li}^+ \dots \text{FH}$; iii)

1984

MF_{n+1}

9 Б1050. Энергетическая стабильность, силовые поля и колебательные спектры комплексных фторидных ионов MF_{n+1}^- по данным неэмпирических расчетов методом МО ЛКАО ССП. Соломоник В. Г., Озерова В. М., Краснов К. С. «Координат. химия», 1984, 10, № 12, 1613—1618

Методом Хартри—Фока—Рутана с использованием двухэкспонентных базисов сгруппированных гауссовых ф-ций $(9s4p/4s2p)$ —Li, $(9s5p/4s2p)$ —Be, B, F $(12s8p-1d/6s4p1d)$ —Na, Mg, Al, рассчитаны равновесные межъядерные расстояния, силовые постоянные, частоты колебаний ионов MF_{n+1}^- ($M = Li, Be, B, Na, Mg, Al$), а также энтропии и энталпии реакции распада $MR_{n+1} \rightarrow MF_n + F^-$ (1). Изучено влияние на результаты расчета указанных св-в включения в базис диффузных и поляризац. ф-ций на атомах фтора. Показано, что неучет диффузных функций завышает на 15—20 ккал/моль энергию распада. Обсуждены закономерности в изменении св-в в рассмотренных рядах ионов и при переходе $MF_n \rightarrow MF_{n+1}^-$. Автореферат

(X) (K)

Х. 1985, 19, № 9

BeF_{n+1}⁻, BF_{n+1}⁻, NaF_{n+1}⁻

MgF_{n+1}, AlF_{n+1}

natr

1984

MF_{n+1}

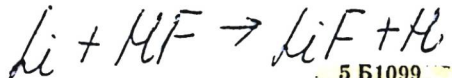
4 Д65. Энергетическая стабильность, силовые поля и колебательные спектры комплексных фторидных ионов MF_{n+1}^- по данным неэмпирических расчетов методом МОЛКАО ССП. Соломоник В. Г., Озерова В. М., Краснов К. С. «Координат. химия», 1984, 10, № 12, 1613—1618

Методом Хартри—Фока—Рутана с использованием двухэкспонентных базисов сгруппированных гауссовых ф-ций (DZ): $(9s4p/4s2p)$ —Li, $(9s5p/4s2p)$ —Be, B, F, $(12s8p1d/6s4p1d)$ —Na, Mg, Al, рассчитаны равновесные межъядерные расстояния, силовые постоянные, частоты колебаний ионов MF_{n+1}^- ($M=Li, Be, B, Na, Mg, Al$), энтропии и энталпии реакции распада $MF_{n+1}^- \rightarrow MF_n + F^-$ (1). Изучено влияние на результаты расчета указанных свойств включения в базис диффузных и поляризаций ф-ций на атомах фтора. Показано, что неучет диффузных ф-ций на 15—20 ккал/моль завышает энергию распада. Результаты расчета согласуются с имеющимися эксперим. данными. Обсуждены закономерности в изменении свойств в рассмотренных рядах ионов и при переходе $MF_n \rightarrow MF_{n+1}^-$.

Автореферат

(+) 8

Ф. 1985, 18, № 4



1985

5 Б1099. Трехмерное квазиклассическое траекторное уточнение неэмпирической поверхности потенциальной энергии $Li+HF$. A TD quasiclassical trajectory improvement of the $Li+HF$ «ab initio» potential energy surface. Alvaríño J. M., Hernandez M. L. «17th Eur. Congr. Mol. Spectrosc.», Madrid, 8—13 Sept., 1985: EUCMOS XVII. Abstr.» S. I., s. a., 253 (англ.)

Результаты неэмпирич. расчетов электронных термов для р-ции $Li+HF \rightarrow LiF+H$ аппроксимированы тремя методами, приводящими к различным Пв потенциальной энергии (ППЭ). Трехмерный расчет квазиклассич. траекторий на этих ППЭ и сравнение с эксперим. данными показали, что методы, основанные на простом разложении по межъядерным расстояниям, приводят к слишком слабой зависимости полного сечения σ р-ции от поступат. энергии T . ППЭ, основанная на разложении по индексам порядка связи, воспроизводит эксперим. данные только в общих чертах. ППЭ, пред-

расчет
электронных
термов

X. 1986, 19, N 5.

ставленная разложением по отрицат. степеням по межъ-
ядерным расстояниям, дает хорошее описание как
зависимости $\sigma(T)$, так и углового и энергетич. распреде-
ления ионов. Эта ППЭ м. б. использована для описа-
ния р-ций щел. и щел.-зем. металлов с галогеноводо-
родами.

Л. Ю. Русин



1985

LiHF₂

19 Б3035. Решеточные энергии бифторидов щелочных металлов, U(MHF₂). Lattice energies of the alkali metal bifluorides, U(MHF₂). Emsley John. «Polyhedron», 1985, 4, № 3, 489—490 (англ.)

Полученные недавно эксперим. данные по энергии Н-связи в бифторид-ионе позволили из цикла Борна—Габера рассчитать решеточную энергию U бифторидов щел. металлов MHF₂. Значения U (± 10 кДж/моль) при 298,15 К равны: M=Li 903, Na 807, K 725, Rb 692, Cs 640 кДж/моль. По ур-нию Капустинского найден термохим. радиус HF₂⁻, равный 164 пм, и оценены U для NH₄HF₂ и бифторидов щел.-зем. металлов M(HF₂)₂. Величины U составили: NH₄HF₂ 606, M=Mg 2743, Ca 2452, Sr 2312, Ba 2158 кДж/моль.

Р. Г. Сагитов

(+9)

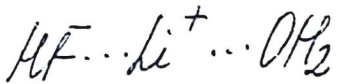
⊗

●

X. 1985, 19, N 19.

NaHF₂, KHF₂,
RbHF₂, CsLiF₂, NH₄HF₂,

$Mg(HF_2)_2$, $Ca(HF_2)_2$, $Sr(HF_2)_2$,
 $Ba(HF_2)_2$



1985

8 Д160. Неэмпирический расчет смешанных комплексов $\text{HF} \cdots \text{Li}^+ \cdots \text{O}$ и $\text{HF} \cdots \text{Be}^{2+} \cdots \text{O}$.

Пинчук В. М., Каташинский А. С. «Координационная химия», 1985, 11, № 4, 457—458

Методом ССП МО ЛКАО в базисе гауссовых ф-ций проведены неэмпирические расчеты смешанных сольватных комплексов $\text{HF} \cdots \text{Li}^+ \cdots \text{OH}_2$ и $\text{HF} \cdots \text{Be}^{2+} \cdots \text{OH}_2$. Получены энергии связи ион — молекула и распределение электронной плотности. Показано, что механизм образования смешанных комплексов отличается по своей структуре от однородных комплексов.

Автореферат

(H) X

окт 1985, 18, N8

$(\text{LiF})_4$

1985

№ 5 Д 66. Теоретическое исследование тетramerов LiF , LiOH и LiNH_2 . Theoretical studies of LiF , LiOH , and LiNH_2 tetramers. Sapse Anne-Marie, Raghavachari Krishnan, Schleyer Paul von Rague, Kaufmann Elmar. «J. Amer. Chem. Soc.», 1985, 107, № 23, 6483—6486 (англ.)

На основе неэмпирич. расчета геометрии в базисе 3—21 ГФ тетramerов перечисленных молекул установлено, что для первых двух она является тетраэдрической, для третьей — плоской, симметрии D_{4h} . Относит. энергия изомеров зависит от базиса и способа учета корреляции, но остается в пределах ~ 13 ккал/моль для LiF , ~ 25 ккал/моль для LiOH и ~ 10 ккал/моль для LiNH_2 . В пределах выбранной симметрии осуществлялась полная оптимизация геометрич. параметров. Выводы об относит. стабильности согласуются с опытом и поддаются простой электростатич. интерпретации, в которой положение неподеленных пар играет решающую роль.

М. М. М.

12

сф 1986, 18, n5

$(\text{LiOH})_4$, $(\text{LiNH}_2)_4$

(LiF)₄

(Om. dd614)

1985

8 Б1079. Теоретическое изучение тетрамеров LiF, LiOH и LiNH₂. Theoretical studies of LiF, LiOH, and LiNH₂ tetramers. Sapse Anne-Marie, Raghavachari Krishnan, Schleyer Paul von Ragué, Kaufmann Elmar. «J. Amer. Chem. Soc.», 1985, 107, № 23, 6483—6496 (англ.)

геометр.,
структур., E.

Неэмпирическим методом ССП MO в расширенных базисах 6—31 и 6—31+sp+d ГФ при полной оптимизации геометрии в расщепленном валентном базисе 3—21 ГФ с учетом энергии корреляции по теории воз-

(+2)



X.1986, 19, N8

мущений Меллера — Плессета 2- и 3-го порядков проведены расчеты тетрамеров $(\text{LiF}_4)_4$ (I), $(\text{LiOH})_4$ (II) и $(\text{LiNH}_2)_4$ (III). Исследованы конфигурации тетраэдра и плоского квадрата (структуры с более низкой симметрией энергетич. значительно менее выгодны и поэтому не рассматривались). Тетраэдрич. конфигурация предпочтительнее для тетрамеров I и II, конфигурация плоского квадрата — для III. Этот вывод не зависит от типа базиса. Электронная корреляция существенно не влияет на вычисленную стабильность тетрамеров. Энергии тетramerизации оценены в 185—190 ккал/моль для I и II, 165 ккал/моль для III. Интерпретация результатов дана в терминах электростатич. модели, учитывающей ориентацию свободных электронных пар.

Э. Герман

LiFH

1986

Carter S.

objec

Comput. Phys. Rept,
1986, 3, N4, pp. 210-271,
ill. 210-271.

(cui. H₂O; II)

$(\text{LiF})_n$

On 24699

1986

105: 30411p The role of alternative geometries in alkali halide clusters. Dunlap, Brett L. (Nav. Res. Lab., Washington, DC 20375-5000 USA). *J. Chem. Phys.*, 1986, 84(10), 5611-16 (Err.). The relative importance of the cubic structures proposed to explain magic nos. for alkali halide cluster ions from cluster sources, was examd. via total-energy calcns. on nine-atom cluster ions having various optimized geometries. The relative energies of the planar, tetrahedral, quasioctahedral, lowest-energy nonplanar nine-atom clusters for LiF , LiI , KI , RbI , CsI , NaF , NaCl , NaBr , and NaI were computed by using a Coulomb plus Born-Mayer potential model. The most stable structure was invariably a slightly puckered plane. The relative energies of these clusters for LiF were also tested by using Hartree-Fock and d.-functional theory. Other comparisons were made for NaCl clusters and eight-atom LiF clusters. The computationally more tractable Born-Mayer potentials rather accurately predicted the relative energies of the clusters in ab-initio calcns. The largest problem was too strong a repulsion between like atoms, which overestimated the energy difference between planar and quasioctahedral structures. The calcns. suggested a greater population of noncubic structures for the larger and more polarizable alkali halide cluster ions in beams from cluster sources.

(74)
18

c.a. 1986, 105, n 4 $(\text{LiF})_n$, $(\text{KI})_n$, $(\text{RbI})_n$, $(\text{NaF})_n$,

$\text{Li}(\text{LiF})_4^+$ [Dm. 24699]

1986

Dunlap B.Y.,

Cryxen,
Hepn,
neop.
pacem

J. Chem. Phys., 1986, 84,
N10, 5611-5616

HF...LiF

1986

Sannigrani A.B.,
Kar Tapas, et al.

ab initio Proc. Indian Acad.
paerem. Sci, Chem. Sci. 1986,
96 (3-4), 253-62.

(c.c. $(\text{LiH})_2$; $\overline{\text{III}}$)

LiFH

1988

ab initio
pacem

108: 173856k A bond-order lithium hydrogen fluorine (LiF_2) potential energy surface for 3D quantum-mechanical calculations. Lagana, A.; Gervasi, O.; Garcia, E. (Dip. Chim., Univ. Perugia 06100 Perugia, Italy). *Chem. Phys. Lett.* 1988, 143(2), 174 (Eng). A new fit to ab initio ests. of the LiFH potential energy obtained for use in a 3-dimensional (3D) quantum-mech. calen. the reactivity of this system.

C.A. 1988, 108, N 20

$(\text{LiF})_6$

от 27.4.74 1987

-) 2 Б1068. Кластеры ионных молекул: октаэдрическая в сопоставлении с плоской кольцевой структурой гексамеров LiF, LiOH и LiNH₂. Clusters of ionic molecules: octahedral vs. planar ring structures of LiF, LiOH, and LiNH₂ hexamers. Raghavachari Krishnap, Sapse Anne-Marie, Jain Duli C. «Inorg. Chem.», 1987, 26, № 16, 2585—2588 (англ.)

Неэмпирическим методом ССП МО ЛКАО в базисах 6—31 ГФ и 6—31+sp+d включающих диффузные и поляризац. ф-ции, рассчитана относит. энергия двух конформаций гексамеров $(\text{LiF})_6$, $(\text{LiOH})_6$ и $(\text{LiNH}_2)_6$ —искаженной октаэдрич. симметрии D_{3d} и плоской гексагон. симметрии D_{6h} . Геометрия каждой конформации оптимизирована в базисе 3—21 ГФ. Установлено, что для всех трех изученных систем искаженная октаэдрич. конформация значительно устойчивее плоской гексагональной. Относит. энергия составляет 32,1, 41,9 и 20,2 ккал/моль для $(\text{LiF})_6$, $(\text{LiOH})_6$ и $(\text{LiNH}_2)_6$ соотв. Отмечено, что относит. энергия зависит от использован-

и. п.

(72)
17

X. 1988, 19, № 2

ного базиса — меньшие базисы приводят к переоценке устойчивости наиболее компактной конформации симметрии D_{3d} . Устойчивость этой конформации для гексамеров приписана влиянию электростатич. факторов. Энергии связывания для $(\text{LiF})_6$ и $(\text{LiOH})_6$ составляют ~ 310 ккал/моль, для $(\text{LiNH}_2)_6 \sim 270$ ккал/моль.

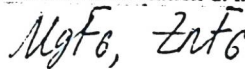
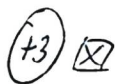
Н. В. Харчевникова

К В

LiF₆

1988

109: 197459e Electronic structure of closed-shell hexafluorides.
Bermejo, M.; Luana, V.; Recio, J. M.; Pueyo, I. (ETS Ing. Minas,
Univ. Oviedo, Oviedo, Spain 33004). *THEOCHEM* 1988, 43,
235-40 (Eng). The electronic structures of four closed-shell
hexafluorides have been obtained by Hartree-Fock-Roothaan calcns.
on the MF(6) clusters (M = Li(+), Na(+), Mg(2+), and Zn(2+)).
Bound ground state nuclear potentials are obtained when the
metallic basis sets are augmented with diffuse and polarization
functions. Fluoride bandwidths and metal-fluoride bandgaps
obtained from these calens. are in good agreement with obsd. data.
The charge transfer assocd. with the formation of the metal-fluoride
bond is discussed in the light of electron deformation d. maps.



C.A. 1988, 109, N 22

Y.F^{x-}
 LiF_6

1988

11 Д138. Электронное строение гексафторидов с замкнутой оболочкой. Electronic structure of closed-shell hexafluorides. Вегтэеjo M., Luano V., Recio J. M., Rueyo L. «J. Mol. Struct. Theochem», 1988, 166, 235—240 (англ.)

Неэмпирическим методом ССП МО ЛКАО в приближении замороженного остова в базисах ф-ций слэтеровского типа с включением поляризационных и диффузных ф-ций исследовано электронное строение MF_6^{x-} , $\text{M}=\text{Li}$, Na , Mg , Zn . Приведены энергии уровней, потенц. кривые, карты деформаций электронной плотности, равновесные длины связей. Подчеркнута сильная зависимость величины переноса заряда от размера базиса. Отмечено, что использование небольшого базиса для F совместно с относительно большим базисом для металла приводит при не очень хороших величинах переноса заряда к удовлетворительным энергетич. характеристикам.

В. Л. Лебедев

(+3)
R

ф. 1988, 18, N 11



NaF_6^{x-} , MgF_6^{x-} , LiF_6^{x-}

Y.F_3^- (OM 31281) 1988

Choi S.C., Boyd R.J.,
Knops O.,

γ_{meop} .
 paclrem Can. J. Chem., 1988, 66,
N9, 2465-2475.

LIX (Om. 30933)

1988

X=Fe, Cl, Br, I Kumar M., Chatur-
vedi S. D. et al.,

neoprene
vacuum Indian J. Phys. B.

1988, 62, N1, 95-100

LiFH

от 28.6.47

1988

№ 12 Б1042. Поверхность потенциальной энергии LiFH для 3-мерных квантовомеханических расчетов, представленная разложением по порядкам связей. A bond-order LiFH potential energy surface for 3D quantum-mechanical calculations. Laganà A., Gervasi O., García E. «Chem. Phys. Lett.», 1988, 143, № 2, 174—180 (англ.)

Построена Пв потенциальной энергии системы LiFH, пригодная для решения динамич. задач в трехмерном пространстве. За основу взяты точки, рассчитанные неэмпирич. методами квантовой химии. Введены поправки, позволяющие правильно описать диссоциац. пределы и воспроизвести значение активац. барьера. Для аппроксимации Пв использовано полиномиальное разл. по порядкам связей, представленным в виде $\exp(-b_i(r_i - r_{ei}))$, где b_i — параметр, а r_i — соотв. межъядерное расстояния и r_{ei} — его равновесное значение. Анализ графиков полученной Пв показывает, что метод разл. по степеням порядков связей позволяет добиться гладкой сшивки обл. дальнодействующего взаимодействия и обл. промежут. геометрич. параметров.

А. В. Немухин

М.Л.

X. 1988, 19, N 12

LiFH

011.28647

1988

У 6 Д57. Поверхность потенциальной энергии LiFH как функция переменных «порядок связи» для трехмерных квантовомеханических расчетов. A bond-order LiFH potential energy surface for 3D quantum-mechanical calculations. Lagana A., Garcia E., Gervasi O. «Chem. Phys. Lett.», 1988, 143, № 2, 174—180 (англ.)

Получены коэф. полиномиального разложения ф-ции потенц. энергии молекулы LiFH по переменным $n_i = \exp[-b_i(r_i - r_{ei})]$, где b_i — постоянные коэф., r_i и r_{ei} — текущее и равновесное значения i -того межъядерного расстояния (n_i — названы переменными «порядок связи»). Коэф. b_i определены для каждого 2-атомного фрагмента из условия наилучшего воспроизведения эксперим. спектроскопич. постоянных основного электронного состояния при полиномиальном разложении 2-атомного потенциала 1-го порядка. В разложение потенц. ф-ции 3-атомной молекулы включены степени

МЛ.

Ф. 1988, 18, N 6

n_i от 1 до 5. Для определения коэф. разложения использованы данные неэмпирич. квантовомеханич. расчетов полной энергии молекулы, скорректированные с известными эксперим. данными. Полученная аппроксимация потенц. поверхности воспроизводит энергию системы с точностью $< 5\%$ во всей области изменения межъядерных расстояний. Предполагается ее использование для квантовомеханич. расчета динамики системы в пространстве 3 измерений.

А. И. Дементьев



LiF_k
 LiF_{k+1}

1988

112: 84582h Nonempirical study of the structure and stability of 3d transition metal fluorides, MF_k and MF_{k+1^-} . Musaev, D. G.; Charkin, O. P. (Inst. Nov. Khim. Probl., USSR). *Koord. Khim.* 1988, 14(11), 1460-7 (Russ). The structures and stabilities of fluorides MF_k and MF_{k+1^-} of the 3d transition metals (M = K, Ca, Sc, Ti, V, Cu, and Zn) were studied by the ab initio MO LCAO SCF method. The effect electron correlation and of extending the basis by including polarization and diffuse functions were analyzed for LiF and LiF_2^- . The results are compared with data from previous ab initio calens. of fluorides of nontransition elements of period II and III.

pacem venit
mykmyr
u cnabunby.

(17) 18

c.a.1990, 112, N10

Li "HF (In. 30303)

1988

Киргиз
Чеми,
Ре

Улбасарук А.Б.,
Түшерек В.М.,

д. сарыкем. Калмык,
1988, ● 29, N 4, 37 -
42.

LizF⁻

Om 32048

1988

† 5 Б1098. Неэмпирические расчеты энергетической стабильности, геометрического строения, силовых полей и колебательных спектров комплексных ионов M_2X^- ($M=Li, Na; X=F, OH$) с учетом электронной корреляции / Соломоник В. Г., Слизнев В. В., Погребная Т. П. // Ж. структур. химии.— 1988.— 29, № 5.— С. 22—31.— Рус.

M.N.

Методом Хартри — Фока в двухэкспонентных базисах, дополненных поляризац. и диффузными ф-циями, с учетом электронной корреляции во втором и третьем порядках теории возмущений по Меллеру — Плессету, а также методом конфигурац. взаимодействия с включением всех дважды возбужденных конфигураций и с поправкой на высшие возбуждения выполнены неэмпирич. расчеты электронного и геометрич. строения, энергетич. стабильности, силовых полей и колебат. спект-

(+)

X. 1989, N 5

NazF⁻, LizOH⁻, NazOH⁻

ров синглетного (S) и триплетного (T) электронных состояний комплексных ионов Li_2F^- , Li_2OH^- , Na_2F^- , Na_2OH^- . Согласно расчетам, S - и T -состояния близки по энергиям. Равновесная геометрия Li_2F^- (T) — линейная ($D_{\infty h}$), а Li_2F^- (S) — изогнутая (C_{2v}). Ионы Li_2OH^- в S - и T -состояниях имеют плоское строение симметрии C_{2v} . Проведено сравнение св-в фторидов и гидридов M_2X^- , а также анионов M_2X^- и соотв. катионов M_2X^+ . Результаты расчетов сопоставлены с эксперим. данными по энергиям диссоциации ионов M_2X^+ и M_2X^- (M — щел. металл, X — F, OH, H).

Резюме



Li_2F^-

01.32048

1988

2 Д137. Неэмпирические расчеты энергетической стабильности, геометрического строения, силовых полей и колебательных спектров комплексных ионов M_2X^- ($M=\text{Li}, \text{Na}; X=\text{F}, \text{OH}$) с учетом электронной корреляции / Соломоник В. Г., Слизнев В. В., Погребная Т. П. // Ж. структур. химии.— 1988.— 29, № 5.— С. 22—31.

Методом Хартри—Фока в двуэкспонентных базисах, дополненных поляризационными и диффузными ф-циями, с учетом электронной корреляции во втором и третьем порядках теории возмущений по Меллеру—Плессету, а также методом конфигурац. взаимодействия с включением всех дважды возбужденных конфигураций и с поправкой на высшие возбуждения выполнены неэмпирич. расчеты электронного и. геометрич. строения, энергетич. стабильности, силовых полей и колебательных спектров синглетного (S) и триплетного (T) электронных состояний комплексных ионов Li_2F^- , Li_2OH^- , Na_2F^- , Na_2OH^- . Согласно расчетам, S - и T -

(+3)

cf. 1989, N 2

Na_2F^- , Li_2OH^- , Na_2OH^-

состояния близки по энергиям. Равновесная геометрия $\text{Li}_2\text{F}^-(T)$ — линейная ($D_{\infty h}$), а $\text{Li}_2\text{F}^-(S)$ — изогнутая (C_{2v}). Ионы Li_2OH^- в S - и T -состояниях имеют плоское строение симметрии C_{2v} . Проведено сравнение свойств фторидов и гидроксидов, фторидов и гидридов $M_2\text{X}^-$, а также анионов $M_2\text{X}^-$ и соответствующих катионов $M_2\text{X}^+$. Результаты теоретич. расчетов сопоставлены с имеющимися эксперим. данными по энергиям диссоциации ионов $M_2\text{X}^+$ и $M_2\text{X}^-$ (M — щелочной металл, $\text{X} = \text{F}, \text{OH}, \text{H}$).

Резюме

YUF

(DM. 31539)

1988

Szczesniak M.M.,
Schreiner S.,

neopen-
pacem Collect. Czechosl. Chem.
Commun. 1988, 53, N10,
2214-2229

LiHF

1989

Aquilanti V., Zaga-
rà A. et al.

nomexus.
Sleepwell

Chem. Phys. Lett.

1989, 158, N 1-2. C.

89-94

(Cell. H_3 ; III)

1989

LiaF₂

Лагинина С.Б., Чернегова Р.В.

струк- Электронографическое исследо-
турный анализ димерной молекулы
акрил, фторида алюм: структур-
заслой, ионный и термодинамиче-
ко-хим. склон  спектр.

LiFH

1989

10 Д78. Точный расчет стационарных точек на поверхности потенциальной энергии для системы LiFH.
An accurate evaluation of the stationary points of the LiFH potential energy surface / Palmieri P., Laganà A. // J. Chem. Phys.— 1989.— 91, № 11.— С. 7303—7304.— Англ.

м.н.

В рамках теории возмущений Меллера—Плессета для учета корреляционной энергии системы LiFH выполнен расчет поверхности потенц. энергии в области стационарных точек. Расчет производился с использованием базисного набора гауссовских орбиталей до 4-го порядка, включая квадрупольные возбуждения. Представлены межатомные расстояния и энергии в стационарных точках. Получено, что глубина потенц. ямы системы LiFH составляет 7 ккал/моль, а величина барьера реакции составляет 4 ккал/моль. Вычисленные данные со-поставляются с предыдущими полуэмпирич. оценками.

А. Воронин

оф. 1990, № 10

Li ... FH

1989

24 Б1064. Точное вычисление стационарных точек потенциальной поверхности энергии LiFH. An accurate evaluation of the stationary points of the LiFH potential energy surface / Palmieri P., Laganà A. // J. Chem. Phys.—1989.—91, № 11.— С. 7303—7305.— Англ.

м.н.

В расширенном базисе гауссовых ф-ций с помощью мёллер — плессетовской теории возмущений 2-го и 4-го порядка и в базисах больших размерностей оценены глубина потенциальной ямы, отвечающей комплексу Li...FH и высота барьера р-ции $\text{Li} + \text{FH} \rightarrow \text{LiF} + \text{H}$. Проведено сопоставление найденных, ранее вычисл. и эксперим. оценок указанных величин, обсуждены кратко возможные источники ошибок разных расчетных схем. Глубина ямы (~ 7 ккал/моль) получена значительно большей, чем ранее, а высота барьера (4 ккал/моль) — меньшей.

В. И. Пупышев

X·1990, № 24

LiFH

1989

2 Д70. Анализ энергии электронной корреляции в ППЭ молекулы LiFH с использованием методов функционала плотности. Analysis of the electronic correlation energy in the LiFH PES using density functional methods / Paniagua Miguel, Aguado Alfredo // Chem. Phys. — 1989. — 134, № 2—3. — С. 287—296. — Англ.

С помощью теории функционала плотности (ФП) учтен вклад корреляции электронов в поверхность потенц. энергии (ППЭ), рассчитанной ограниченным методом Хартри — Фока (ОХФ). Использован базис сгруппированных гауссовых ф-ций 31-ГФ на атоме H, 6221 ГФ — на атоме F и 6111-ГФ на атоме Li. Исследовано влияние базисного набора на расчет ППЭ; проанализирована зависимость корреляционного вклада от выбора конкретного вида ФП в рамках приближения локальной плотности. Сопоставлены величины равновесных межъядерных расстояний, частот колебаний двухатомных фрагментов, полученные методами ОХФ, ФП и конфи-

м.п.

φ. 1990, № 2

гурец. взаимодействия. Отмечено, что для воспроизведения ППЭ вблизи седловых точек требуется значительное расширение базисного набора. Приближение локальной плотности дает удовлетворительную точность при описании ППЭ. Библ. 39. А. Ю. Ермилов

редс

LiFH+

[DM. 31585]

1989

Мезонит.
расщепн.
ромыш.
поверхн.

Текстурация А.Н., Зио-
Баск А.С., Чаркин О.П.,
Ис. Мелориан. Хендерсон,
1989, 34, N.S, 1091-1095.

OF_2Li^+

Он 33182

1989

† 5 Д97. Неэмпирические расчеты потенциальных поверхностей, структуры и стабильности ионов OF_2Li^+ , SF_2Li^+ , F_2Li^+ и $ClFLi^+$ / Якобсон В. В., Чаркин О. П. // Ж. структур. химии.— 1989.— 30, № 6.— С. 19—22

Выполнены неэмпирич. расчеты потенц. поверхно-стей комплексов OF_2Li^+ , SF_2Li^+ , F_2Li^+ и $ClFLi^+$ в приближении ССП/ДЭХД+П. Показано, что стабильность мостиковой структуры по сравнению с классической усиливается при замене O на S и F на Cl и у всех рассмотренных фторидов основной оказывается мостиковая структура. Классич. структуре $LiMF_k^+$, где Li связан непосредственно с атомом M, отвечает вершина потенц. барьера, причем на энергетич. шкале она лежит либо вблизи, либо выше предела диссоциации на $Li^+ + MF_k$. Делается сравнение с аналогичными комплексами гидридов, для которых, в отличие от фторидов, характерна изомерия.

Резюме

(43) А

сб. 1990, № 5

OF_2Li^+

ОМ 33182

1989

11 Б1063. Неэмпирические расчеты потенциальных поверхностей, структуры и стабильности ионов OF_2Li^+ , SF_2Li^+ , F_2Li^+ и $ClFLi^+$ / Якобсон В. В., Чаркин О. П. // Ж. структур. химии.— 1989.— 30, № 6.— С. 19—22.— Рус.

Выполнены неэмпирич. расчеты потенциальных Пв комплексов OF_2Li^+ , SF_2Li^+ , F_2Li^+ и $ClFLi^+$ в приближении ССП/ДЭХД+П. Показано, что стабильность мостиковой структуры по сравнению с классич. усиливается при замене O на S и F на Cl и у всех рассмотренных фторидов основной оказывается мостиковая

структура со связями $Li—F—M$ и $Li\overset{[—]}{FF}M$. Классич. структуре $LiMF_k^+$, где Li связан непосредственно с атомом M, отвечает вершина потенциального барьера, причем на энергетич. шкале она лежит либо вблизи, либо выше предела диссоциации на Li^++MF_k . Проведено сопоставление с аналогичными комплексами гидридов, для к-рых, в отличие от фторидов, характерна изомерия.

Резюме

(43) (X)

Х. 1990, N 11.

$(LiF)_2$

[OM-36085]

1991

$(LiI)_2$

Bueella T., Miller T.M.,
et al.,

$(LiBr)_2$

J. Chem. Phys 1991,

94, N10, 6857 - 6861.

Polarizabilities of the alkali

halide dimers.

Li HF

1992

Aguado A., Pariagua M.,

M.N.

J. Chem. Phys. 1992, 96,
N2, p. 1265 - 1275

(Cu-Hg;  III)

LiOF

1992

117: 97802h Theoretical study of the structure and stability of the molecular salts LiOF, LiOCl, LiSF, LiSCl and ion-molecular complexes Li^+F_2 , Li^+FCI and Li^+Cl_2 . Musaev, D. G.; Charkin, O. P. (Inst. Nov. Khim. Probl., Chernogolova, Russia). *Zh. Strukt. Khim.* 1992, 33(1), 3-9 (Russ). The potential surfaces were calcd. for restructuring of the title compds. related to the migration of Li^+ around the remaining structure using a SCF/3-21G* nonempirical method. The relative energy and structure changes are qual. correctly described in the framework of the electrostatic model.

meop. parrem

almeris. noleggi

emilysmij. u

maedwetocd

+6



C. A. 1992, 117, n 10

1992

 Li_2F^+
 Li_2F

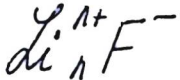
10 Б 1038. Неэмпирическое исследование суперщелочей. Первые потенциалы ионизации и термодинамическая стабильность. Ab initio study of superalkalis. First ionization potentials and thermodynamic stability /Rehm Eva, Boldyrev Alexander I., von R. Schleyer Paul //Inorg. Chem. — 1992 .— 31 , № 23 .— С. 4834—4842 .— Англ.

Проведены неэмпирич. расчеты молекул Li_2F^+ , Li_2F , Na_2Cl^+ , Na_2Cl , Li_2O , Li_3O^+ , Li_3O , Li_2S , Li_3S^+ , Li_3S , Na_2O^+ , Na_3O^+ , Na_3O , Li_3N , Li_4N^+ , Li_4N , Li_3P , Li_4P^+ и Li_4P . Равновесные геометрич. параметры и колебат. частоты определены при расчете с помощью теории возмущений Меллера—Плессета второго порядка в базисе 6-31+ГФ*. Энергии при оптимизированных геометриях рассчитаны квадратичным методом конфигурац. вз-вия в базисе 6-311+ГФ(2df). Найдено, что все рассмотренные суперщелочи и их положит. ионы устойчивы по отношению к отрыву атома металла M и иона M^+ соотв. Молекулы суперщелочи имеют очень низкие потенциалы ионизации (ниже потенциала ионизации атома Cs). Библ. 50.

А. А. Сафонов

ll.1
~~ff~~
X. 1993, N 10

1992



(n=2, 3, 4)

19 Б1030. Свойства многочастичной энергии ионов $Li^{n+} F^-$ в основном и возбужденном состояниях. Ground and excited state properties of many-body energies in $Li^{n+} F^-$ ions /Shalabi A. S., Kamel M. A., Shalabi S. A., Eid K.H. M. //Mol. Phys. .—1992 .—75 , № 6 .—С. 1365—1374 .—Англ.

Проанализированы многочастичные разложения для энергии вз-вия кластерных ионов $Li^{n+} F^-$ ($n=2, 3, 4$) в основном (синглетном) и возбужденном (триплетном) состояниях. Энергии рассчитаны методом Хартри—Фока с миним. ОСТ—ЗГФ и расширенным 6—ЗПГФ** базисами. Найдено, что 3- и 4-частичные вклады в энергию вз-вия существенно зависят от базиса и от геометрии системы.

А. В. Немухин

М.Л.

Х. 1992, N 19

LiOF

1992

15 Б1013. Теоретическое исследование структуры и стабильности молекул солей LiOF, LiOCl, LiSF, LiSCl и ион-молекулярных комплексов $\text{Li}^+ \cdot \text{F}_2$, $\text{Li}^+ \cdot \text{FCl}$ и $\text{Li}^+ \cdot \text{Cl}_2$ / Мусаев Д. Г., Чаркин О. П. // Ж. структур. химии.— 1992.— 33, № 1.— С. 3—9.— Рис.

✓ Неэмпирическим методом ССП/З-21Г* рассчитаны потенциальные поверхности (ПП) перегруппировок $\text{Li}^+ \cdot \text{AB} \leftrightarrow \text{AB} \cdot \text{Li}^+$, соотв.-щие миграции Li^+ вокруг лиган-дов $\text{AB}=\text{OF}^-$, OCl^- , SF^- , SCI^- , F_2 , FCl и Cl_2 , содер-жащих 14 валентных электронов. Энергетич. х-ки осо-бых точек ПП уточнялись в ССП/ДЭХД+П — прибли-жении. У всех систем на ПП найден единственный ми-нимум, к-рому соответствует циклич. структура. Линей-ные структуры $\text{Li}^+ \cdot \text{AB}$ и $\text{Li}^+ \cdot \text{BA}$ лежат значитель-но выше по энергии. ПП у миграционно-нежестких ионов $\text{Li}^+\cdot\text{F}_2$, $\text{Li}^+\cdot\text{FCl}$ и $\text{Li}^+\cdot\text{Cl}_2$ очень пологи. Тенденции из-менения относит. энергетич. и геометрич. х-к альтерна-тивных конфигураций при увеличении порядкового но-мера галогена и халькогена качественно правильно опи-сываются в рамках электростатич. модели. Полученные

М.Н.

(87/43)

X. 1992, N 15

данные сравниваются с результатами предыдущих расчетов ПП аналогичных перегруппировок с лигандами АВ, содержащими 10 валентных электронов.

4 ВКЛ
0 000

*Vol 117 F-
dip F*

1992

117: 76780j **Ground and excited state properties of many-body energies in $\text{Li}_{n+}^{\infty} \text{F}^-$ ions.** Shalabi, A. S.; Kamel, M. A.; Shalabi, S. A.; Eid, K. M. (Fac. Sci., UAE Univ., Al-Ain, United Arab Emirates). *Mol. Phys.* 1992, 75(6), 1365-74 (Eng). Ground and excited state properties of many body energies in $\text{Li}_{n+}^{\infty} \text{F}^-$ ions were examd. at two levels of ab initio theory. The effect of basis set size at configurations specified by two angular variables was tested. The ions in the excited state lattice were found to be more bound than those in the ground state. Discrepancies were obsd. between the minimal and extended basis set for describing the multibody expansions. Although the ground state $V(m,n)$ terms at $m = n \geq 3$ were negligible, the excited state $V(m,n)$ terms at $m = n \geq 3$ were not negligible.

(meep. pariet)
C. A. 1992, 117, N8

1993

(LiF)₂ 118: 154999z A theoretical investigation of the geometries, vibrational frequencies, and binding energies of several alkali halide dimers. Dickey, Robert P.; Maurice, David; Cave, Robert J.; Mawhorter, Richard (Dep. Chem., Harvey Mudd Coll., Claremont, CA 91711 USA). *J. Chem. Phys.* 1993, 98(3), 2182-90 (Eng). Results are presented from *ab initio* calcns. on the sym. alkali halide dimers made up of Li, Na, K, F, and Cl. The authors examine the sensitivity of representative monomer and dimer geometries to the variation of the basis set with and without polarization and diffuse functions. The geometries are then compared with available exptl. results. Vibrational frequencies at the RHF level were also calcd. and the changes in the geometry brought about by correlation using second-order Moeller-Plesset perturbation theory were examd. The Hartree-Fock theory in a modest basis set with diffuse and polarization functions yields results comparable to much larger *sp* basis sets; the results are in good agreement with the exptl. results for the Li and Na dimers. The best results for the K-cong. species tend to show bond lengths that are too long for the monomers and this error is carried over for the dimers. A nearly uniform expansion of 0.16 ± 0.03 Å was found for the M-X bond length in proceeding from monomer to dimer independent of the alkali or halide involved. The calcd. dimer dissocn. energies are in excellent agreement with

copykmypa,
Vi, Do,
meop. placen

17/5

c.A.1993, 118, N16

expt. Inclusion of correlation appears to have a minimal effect on the computed geometries and a modest effect on the binding energies. The vibrational frequencies for the monomers are in excellent agreement with exptl. gas-phase results and reasonable agreement is obtained with the available exptl. frequencies for the dimers. A reanal. of the electron diffraction data for Na₂F₂ in light of the current *ab initio* results leads to a significant change in the exptl. value of the bond angle.

LiFH

1993

120: 62855n Ground- and lowest excited-state MRDCI potential-energy surfaces for the collinear lithium + hydrogen fluoride reaction. Suarez, Cristina; Agundo, Alfredo; Paniagua, Miguel (Departamento de Química Física, Facultad de Ciencias C-XIV, Universidad Autónoma de Madrid, Madrid, Spain 28049). *Chem. Phys.* 1993, 178(1-3), 357-62 (Eng). The collinear potential energy surfaces for the ground and lowest excited state of the doublet LiFH system and the evolution of the saddle point with the collision angle for the reaction Li+HF have been detd. using a multiple ref. single and double excitations configuration-interaction (MRDCI) method and an extended GTO basis set. A diabatic state anal. is made to identify and categorize the two lower eigenvals., obtaining that the two lower adiabatic states correspond to an avoided crossing between the two lower diabatic states. The height of the collinear saddle point is found to be about 58 kJ/mol above the reactants (vs. 85 kJ/mol corresponding to previous results).

COMETUS. NO-
REFRACTORY,
metop-pavium

C.A. 1994, 120, N6

Li₂F

1993

15 Б1127. Теоретическое рассмотрение некоторых суперщелочных молекул. Theoretical treatment of several superalkali molecules / Szaniszló J., Tamássy-Lentei I. // Acta phys. et chim. debrec. — 1993. — 28. — С. 49—54. — Англ.

Равновесные геометрич. структуры кластеров Li₂F, Li₃S, Li₄N, Na₃O и их катионов определены неэмпирич. методом плавающих сферических гауссовых орбиталей. Найдено, что нейтральные системы имеют потенциалы ионизации по значению более низкие, чем потенциалы ионизации щелочных атомов. Системы стабильны по отношению к отрыву щелочного атома или катиона. Оценены энергии связей рассмотренных систем. Г. К.

когнитр
структур

(+3) ~~☒~~



X. N 15, 1996.

Y.F
dig

OM 37746

1994

121: 187853n Impurity Doping of a Simple Metal Cluster: An Ab Initio Study of Li_9F . Dahlseid, Tina A.; Pople, John A.; Ratner, Mark A.; Kappes, Manfred M. (Department of Chemistry, Northwestern University, Evanston, IL 60208 USA). *J. Phys. Chem.* 1994, 98(36), 8851-7 (Eng). The ground-state properties of the doped alkali-metal cluster, Li_9F , have been investigated using extended basis Hartree-Fock calcns. Six isomers were found. The excited states of the isomers were modeled via configuration-interaction singles (CIS). Differences between the optical response of the isomers with an external fluorine and with an internal fluorine were found. Comparisons are also made between the CIS results for the isomers of Li_9F and the homogeneous clusters, Li_8 and Li_8^+ . The ground-state studies show that the metallic Li_8 core is resistant to substantial modification; the added LiF modifies the geometry and the symmetry in all six isomers, but the frontier MO structure is only slightly changed from the parent Li_8 cluster. All six isomers found are substantially noncentrosym. The reduced symmetry permits optical absorption at many more frequencies than can be seen in the more highly sym. Li_8 or Li_8^+ parents, but the overall spectral pattern is very similar.

(meopener
pacem)



C.A. 1994, 121, n16

$\lim_{n \rightarrow \infty} F_n$
 $n \leq 32$

1994

Ochsenfeld Ch.,
Ahlrichs R.

ab initio
pacrēm

Ber. Bunsen - Ges. Phys.
Chem. 1994, 98(1), 34-47.

(cen. $K_n Cl_n$; \underline{III})

$\text{Li}_{n+1} \text{F}_n$

1994

Ochsenfeld Christian,
Ahlrichs Reinhart,
eipyccis.,
eladush., meop.
pacem

J. Chem. Phys. 1994,
101(7), 5977 - 86.

( $\text{K}_{n+1} \text{Cl}_n$; $^{\text{III}}$)

$\text{Li}_2\text{F}_4^{2-}$

1994

118248g Construction principle for stable multiply-negative charged molecular systems. Part I. Doubly-negative charged systems. Scheller, M. K.; Cederbaum, L. S. (Dip. Chim., Univ. Perugia, 06100 Perugia, Italy). *J. Chem. Phys.*, 1994, 100(12), 5432 (Eng). The existence of free dianionic $M_2X_4^{2-}$ alkali halides ($M = \text{Li}, \text{Na}; X = \text{Cl}, \text{F}$) which are formed according to a recently introduced construction principle is discussed. The systems are found to be highly ionic. Considerable evidence for their stability to fragmentation and to electron detachment is predicted at various levels of theory:

meopm
pacem
maurizio



(15)

C.A.1994, 121, N10

$\text{Li}_2\text{Cl}_4^{2-}$

$\text{Na}_2\text{F}_4^{2-}$



$\text{Na}_2\text{Cl}_4^{2-}$, $\text{K}_2\text{F}_4^{2-}$,

$\text{K}_2\text{Cl}_4^{2-}$

$\Sigma i F_{K+1}$

1994

D_0 , meop.
paerem

Slyznev V.V.,
Pogrebnaya T.P. et al.
Koord. Khim. 1994,
20 (8-9), 641-7.

(an. $\Sigma i Cl_{K+1}$; ii). 

1994

F: LiFH

P: 3

11Б139. Применение методов теории функционала плотности второго порядка для расчетов поверхности потенциальной энергии LiFH.
Application of second-order density functional methods to the calculation of
the LiFH potential energy surface / Suarez Cristina, Aguado Alfredo,
Tablero Cesar, Paniagua Miguel // Int. J. Quantum Chem. - 1994. - 52, N 4.
- С. 935-945. - Англ.

Методы функционала плотности второго порядка использованы для учета поправки на электронную корреляцию в неэмпирич. расчетах электронной энергии трехмерных поверхностей потенциальной энергии методом ХФ. Сопоставлены х-ки поверхности потенциальной энергии реции $\text{Li}+\text{FH}' \rightarrow \text{LiF}+\text{H}$, рассчитанные методами ХФ, Меллера-Плессета третьего порядка, конфигурац. вз-вия и функционала плотности второго порядка. Библ. 33.

X. 1996, N 11

LiFH

1994

*ACONTRIB
PARCIAL
NO MECANISMO
DE REACCION*

121: 308779d Application of second-order density functional methods to the calculation of the LiFH potential energy surface. Suarez, Cristina; Aguado, Alfredo; Tablero, Cesar; Paniagua, Miguel (Fac. Ciencias C-XIV, Univ. Autonoma Madrid, Madrid, Spain 28049). *Int. J. Quantum Chem.* 1994, 52(4), 935-45 (Eng). Second-order, d.-functional methods were used to introduce electron correlation into Hartree-Fock (HF), ab-initio electronic-energy calcns. for three-dimensional potential energy surfaces (PES). We analyze the behavior of these methods in PES calcns. by applying them to the Li + FH reaction, which has been considered a prototype of elementary atom-diatom reactions. This system has been studied also by the usual techniques, allowing a point-by-point (for a total of 317 grid points) comparison for the lowest $^2A'$ adiabatic state. In particular, we compare the results obtained by using the HF, Moeller-Plesset (MP3 level), and CI (CISD and MRD-CI levels) methods, with corresponding results obtained by using the Colle-Salvetti (CS) and Moscardo-San Fabian (MSF) procedures by using the HF results as the starting point. We found that the CS and MSF procedures support the prediction of a shallow well in the entrance channel that deepens slightly away from collinearity and disappears for a bond angle $\theta < 74^\circ$. We also found

C.A. 1994, 121, N 26

that the constrained saddle-point positions remain essentially const. from $\theta = 180^\circ$ to 90° , and are clearly in the exit channel as for the MRD-CI approach (corresponding to the best results). In conclusion, there is a good overall agreement, but there is a question in which this agreement is less pronounced: the heights of the saddle points including the transition state. In particular, the transition-state height is about 3 kcal/mol higher than the more accurate value obtained with the MRD-CI approach. However, the second-order, d.-functional methods were capable of reducing the HF barrier from 18 to 19 kcal/mol (all of these values obtained by spline interpolation), the latter value being very similar to the CISD result.

$(\text{LiF})_2(\text{H}_2\text{O})$ [Om. 37745]

1994

Woon & E.,

ab initio J. Phys. Chem., 1994, 98,
pages 8831-8833

Ab Initio Modeling of LiF_2
and $(\text{LiF})_2(\text{H}_2\text{O})$

LHF

Geop. par.

det. u

bog. coq.

Vaquado A., Suárez C.,
Patagonia M.

1995

Chem. Phys. 1995, 201, f1, p.107-12

Ab initio pacem

det. u bog. cognitivo

Li_4F_4

1995

Redington R.L.,

UR &

J. Chem. Phys. 1995,

102 (19), 7325-31.

(c.c.u. Li_2F_2 ; $''$)

$\text{Li}_{14}\text{F}_{13}^+$

$\text{Li}_{14}\text{F}_{12}^+$

Om. 38984

1997

Bader R.F.W. and
Platts J.A.,

J. Chem. Phys., 1997,
107(20), 8545.

Characteriz~~ation~~ ation of an
F-center in an alkali halide cluster

Li_2OF^+

1997

128: 119835c Ab initio study of isomerism in molecular Li_2AB^+ ions with 12 and 14 valence electrons. Charkin, O. P.; Klimenko, N. M.; Mac -Key, M. L.; Schleyer, Paul v. R. (Inst. Nov. Khim. Probl., RAN, Chernogolovka, Russia). *Zh. Neorg. Khim.* 1997, 42(11), 1896-1904 (Russ), MAIK Nauka. The authors studied potential surfaces of the title ions using MP2/6-31G*//HF/6-31G* + ZPE(HF/6-31G*) and MP4SDTQ/6-31G*//MP2/6-31G* + ZPE(MP2/6-31G*) including the effect of electron correlation on geometrical and vibrational characteristics. The most stable structures are: linear $C_{\infty v}$ for Li_2NO^+ (triplet); plane bicyclic C_{2v} for Li_2OF^+ , Li_2SCI^+ , Li_2NO^+ (singlet), and Li_2PS^+ (singlet); T-shaped for Li_2OCT^+ , SFLi_2^+ , Li_2NS^+ , POLi_2^+ . C_s for Li_2PS^+ (triplet) and Li_2SCI^+ . The affinities of LiAB for Li^+ ions are also calcd.

meop:
razen
 $\text{CNP}-\text{NO}_1$,
 CNaSiUMH ,
Di

~~+5~~

C.A. 1998, 128, N10

F: LiFH

P: 3

18Б141. Поверхности потенциальной энергии реакции Li+HF. Изучение основного и низших возбужденных состояний дублетного LiFH методом КВ по отношению к нескольким исходным конфигурациям. Potential-energy surfaces for the Li+HF reaction. MRDCI study of the ground- and lower excited-states for doublet LiFH / Aguado Alfredo, Suarez Cristina, Paniagua Miguel // Chem. Phys. - 201, 1. - С. 107-120. - Англ.

Методом КВ по отношению к некоторым исходным конфигурациям в трехэкспонентном базисе с включением поляризационных функций исследована потенциальная поверхность LiFH симметрии C[s]. Изучены пять низших дублетных состояний и обсужден механизм реакции Li+HF. Предсказано, что облучение лазером с частотами 6000-9000 см⁻¹ будет катализировать р-цию с образованием LiF+H. Библ. 33.

LiOF_2

1998

Chasein D.P. et al.,

ab initio
pacem
cryo-
Li, CNA-
funct.

Zh. Neorg. Khim. 1998,
43(2), 280 - 293

(Cu · Li BO_2 ; III)

Li_3F_2 (?)

2000

134: 9663m Ionization energies of hyperlithiated Li_2F molecule and $\text{Li}_n\text{F}_{n-1}$ ($n=3,4$) clusters. Yokoyama, K.; Haketa, N.; Tanaka, H.; Furukawa, K.; Kudo, H. (Department of Materials Science, Japan Atomic Energy Research Institute, Tokai-mura, Ibaraki, Japan 319-1195). *Chem. Phys. Lett.* **2000**, 330(3,4), 339-346 (Eng), Elsevier Science B.V. Ionization energies (IEs) of hyperlithiated Li_2F mol. and non-stoichiometric $\text{Li}_n\text{F}_{n-1}$ ($n=3,4$) clusters detected in a pulsed supersonic cluster beam expanded from a laser-ablation source are reported for the first time. The IEs detd. by photoionization were 3.78 ± 0.2 for Li_2F , 4.32 ± 0.2 for Li_3F_2 , and 4.30 ± 0.2 eV for Li_4F_3 . The IEs agree with theor. IEs calcd. by ab initio methods, supporting the theor. prediction that Li_2F has a hyperlithiated configuration in which the odd electron delocalizes over the two Li atoms and that Li_3F_2 and Li_4F_3 have one or two odd-electron localized configurations.

Li_4F_3 (g)

2000

134: 9663m Ionization energies of hyperlithiated Li_2F molecule and $\text{Li}_n\text{F}_{n-1}$ ($n=3,4$) clusters. Yokoyama, K.; Haketa, N.; Tanaka, H.; Furukawa, K.; Kudo, H. (Department of Materials Science, Japan Atomic Energy Research Institute, Tokai-mura, Ibaraki, Japan 319-1195). *Chem. Phys. Lett.* **2000**, 330(3,4), 339-346 (Eng), Elsevier Science B.V. Ionization energies (IEs) of hyperlithiated Li_2F mol. and non-stoichiometric $\text{Li}_n\text{F}_{n-1}$ ($n=3,4$) clusters detected in a pulsed supersonic cluster beam expanded from a laser-ablation source are reported for the first time. The IEs detd. by photoionization were 3.78 ± 0.2 for Li_2F , 4.32 ± 0.2 for Li_3F_2 , and 4.30 ± 0.2 eV for Li_4F_3 . The IEs agree with theor. IEs calcd. by ab initio methods, supporting the theor. prediction that Li_2F has a hyperlithiated configuration in which the odd electron delocalizes over the two Li atoms and that Li_3F_2 and Li_4F_3 have one or two odd-electron localized configurations.

$\text{Li}_n \text{FeI}_3$
($n = 2-5$)

[Om 41485]

2002

Naoki Nakata et al.,

2002, 577, 55-67
J. Mol. Struct. (Theochem)